

(HUANJING KEXUE)

### ENVIRONMENTAL SCIENCE

第34卷 第2期

Vol.34 No.2

2013

中国科学院生态环境研究中心 主办

科学出版社出版



### ENVIRONMENTAL SCIENCE

第34卷 第2期 2013年2月15日

### 目 次

16 届亚运会期间广州城区 PM <sub>2.5</sub> 化学组分特征及其对霾天气的影响 陶俊,柴发合,高健,曹军骥,刘随心,张仁健(409)北京地区秋季雾霾天 PM <sub>2.5</sub> 污染与气溶胶光学特征分析                     赵秀娟,蒲维维,孟伟,马志强,董璠,何迪(416)上海市秋季大气 VOCs 对二次有机气溶胶的生成贡献及来源研究
上海市秋学人气 VOCs 对二次有机 飞格放的生成页献及未添切充
杭州市大气超细颗粒数浓度谱季节性特征
保定市大气气溶胶中正构棕层的污染水平及来源识别 参本菇 杜熙强 王英锋 王跃思(441)
去节期间而安城区融气滚胶污浊转征研究
作为四日文为是城 (市成17年7年底)
平东区域同山目泉层 $\Gamma M_{10}$ 和 $\Gamma M_{25}$ 目泉且及万朱行征  亦称的,刘公东,陶文(455)
基于电丁鼻工集与地下水污染修复现场 TVOC 和恶臭的评估               田务央, 祭赋, 刈犹, 张水明(462)
枳儬雪拴制卜土壤大气间永父换进量特征
靖海湾重金属污染及铅稳定问位素溯源研究 徐林波,高勤峰,董双林,刘佳,傅秀娟(476)
正构烷烃及单体碳同位素记录的石臼湖生态环境演变研究 欧杰,王延华,杨浩,胡建芳,陈霞,邹军,谢云(484)
干旱区城市昌吉降雪及积雪中 PGEs 含量分布及其影响因素 刘玉燕,刘浩峰,张兰(494)
降尘收集方法对降尘效率的影响
海河流域水生态功能—级二级分区
长江中下游浅水湖泊水下辐照度漫射衰减特征研究
内性水体叶绿麦后流精刑並活性及甘影响因麦研宏
的加小件中国苏及澳快宝自足且及来影响四京明儿 凌信对官住拉美的河口浪址主尼汀和师信信化苗夕轻胜乃信信化市波的影响
价书列苗朱均介的得口健地农区机价份效料化图乡什住区效制化还罕的影响 "呼啦哎,乡々庆,ღ代村,顾自田(J52) 百品从伊工社科学院建设中、建筑工作、建筑工作、建筑工作、建筑工作、建筑工作、建筑工作、建筑工作、建筑工作
目然余件下盆观两浜湿地工集水分/盆及至间分开及具与植物大系研究
家华央,刘红玉,李玉风,女静,眸星于,疾明行(540)
准河流域农业非点源污染空间特征解析及分类控制
高岚河不同降雨径流类型磷素输出特征 崔玉洁,刘德富,宋林旭,陈玲,肖尚斌,向坤,张涛(555)
城市雨水径流水质演变过程监测与分析 董雯,李怀思,李家科(561)
复合人工湿地系统强化处理单元的运行特性与效果 任峰,陆忆夏,刘琴,汤杨杨,王世和,高海鹰,乔红杰,王为进(570)
给水管网中耐氯分枝杆菌的灭活特性及机制研究 郑琦,陈超,张晓健,陆品品,刘源源,陈雨乔(576)
1 株溶臺菌的部分生物学特性及溶鱼腥蔥作用 李三华、张奇亚(583)
水生植物热解生物油对中肋骨条蘑拍氧化酶活性的影响
TiO 来做化胜全技术降假某款却制及动力为
102 / LIE LUNG 12 / THE PARTY TO THE PARTY
及平及小月7亿分米初生物呼解行任则九
班每困 FAO45 对倾氮条件丝 AR3U 的障脏化制研究 网络瓜, 方塞 胆, 为塞 胆, 为塞 胆, 分塞 胆, 为寒 胆, 也是是一里,这是一里,这是一里,这是一里,这是一里,这是一里,这是一里,这是一里,
松融当星前下工壤人气间水叉换迎星行肛。
基于污泥资源化利用的蛋白核小球藻(Chlorella pyrenoidosa) 培养研究 ····································
温和热处理对低有机质污泥片氧消化性能的影响
天然和水热合成针铁矿对有机物厌氧分解释放 CH <sub>4</sub> 的影响 姚敦璠,陈天虎,王进,周跃飞,岳正波(635)
蚀刻废液及其回收后生产的铜盐产品中 PCDD/Fs 含量水平及分布特征 青宪,韩静磊,温炎桑(642)
基于特定场地污染概念模型的健康风险评估案例研究 钟茂生,姜林,姚珏君,夏天翔,朱笑盈,韩丹,张丽娜(647)
短刻废被及其凹取后生产的铜盘产品中 PCDD/Fs 含量水平及分布特征
地下水有机污染源识别技术体系研究与示范 ····································
郑连山不同海拔十壤有机碳库及分解特征研究
型十方机碳 氮及其活性对长期施肥的响应
相差连续证用对每运边农用上墙由每时左形太和生物有效性的影响
似在建筑建口的确行未从田上接下溯域行龙心相主物有双压的影响
外源Cr(Ⅲ)在我国 22 种典型土壤中的老化特征及关键影响因子研究······· 郑顺安,郑向群,李晓辰,刘书田,姚秀荣(698)
某林丹生产企业搬迁遗留场地土壤中六六六的残留特征 潘峰,王利利,赵浩,尤奇中,刘林(705)
大型炼锌/周边土壤及疏菜的汞污染评价及来源分析
大津成人头发指甲中有机氟污染物的残留特征 姚丹,张鸿,柴之芳,沈金灿,杨波,王艳萍,刘国卿(718)
沉积物中雌激素及壬基酚、辛基酚、双酚 A 的测定 ····················· 吴唯,史江红,陈庆彩,张晖,刘晓薇(724)
动物饲料中砷、铜和锌调查及分析 姚丽贤,黄连喜,蒋宗勇,何兆桓,周昌敏,李国良(732)
氟虫双酰胺在水稻和稻田中的残留动态研究 王点点,宋宁慧,吴文铸,由宗政,何健,石利利(740)
2 株降解菲的植物内生细菌筛选及其降解特性 倪雪,刘娟,高彦征,朱雪竹,孙凯(746)
嗜盐拟香味菌 Y6 降解硝基苯的特性研究
某林丹生产企业搬迁遗留场地土壤中六六六的残留特征
16S rDNA 克隆文库分析高含盐生物脱硫系统细菌多样性
每氨浓度对 CANON 丁 丁 功能微生物主度和 莊 荻
16S rDNA 克隆文库分析高含盐生物脱硫系统细菌多样性 ····································
四月母(1 cmcmmm sumpucessumum)/7]小灰月壮余时序册及旧入四门目行正 。
一
口佃门米工场顺生物研育的阿司万里付任明九····································
工每系任冯买对判准肥过性中的阵牌及共为相大参数的影响 土柱纱, 学兆右, 旅树洧, 与晓彤, 栾永超(795)
生活垃圾填埋过程含水率受化研究····································
一次是,胡天觉,曾光明,黄丹莲,尹璐,刘杨,吴娟娟,刘晖(781)石油污染土壤微生物群落结构与分布特性研究····································
《 外境科字》 征 7 后事(447)   《 外境科字》 征 倘 前 则(493)   信息(508,588,610,731)   专 辑 征 楊 通 知(788)

# 蚀刻废液及其回收后生产的铜盐产品中 PCDD/Fs 含量水平及分布特征

青宪',韩静磊',温炎桑2

(1. 环境保护部华南环境科学研究所,广州 510655; 2. 深圳市危险废物处理站有限公司,深圳 518000)

摘要: 通过高分辨气相色谱-高分辨磁质谱联用仪(HRGC-HRMS)测定了蚀刻废液及其回收利用后生产的铜盐产品中 17 种 2,3,7,8 取代 PCDD/Fs的浓度. 结果表明,蚀刻废液中 PCDD/Fs 浓度范围为  $0\sim3$  460  $pg\cdot L^{-1}$ ,平均值为 616  $pg\cdot L^{-1}$ ,毒性当量浓度 WHO-TEQ 范围为  $0\sim2$ 46  $pg\cdot L^{-1}$ ,平均值为 42. 9  $pg\cdot L^{-1}$ ;铜盐产品中 PCDD/Fs 浓度范围为  $1.08\sim24.6$   $ng\cdot kg^{-1}$ ,平均值为 8.83  $ng\cdot kg^{-1}$ ,毒性当量浓度 WHO-TEQ 范围为  $0.112\sim0.715$   $ng\cdot kg^{-1}$ ,平均值为 0.338  $ng\cdot kg^{-1}$ .通过净化处理工艺可以除去蚀刻废液中大部分 PCDD/Fs. 在蚀刻废液生产的各级产品中,工业级产品中 PCDD/Fs 浓度高于饲料级与电镀级产品. 各铜盐产品中 PCDD/Fs 具有相似的单体分布特征:①PCDFs 的百分含量明显高于 PCDDs;②除硫酸铜类产品中的 2,3,7,8-TCDF外,单体的氯取代数越大,百分比含量越高.

关键词:蚀刻废液;铜盐产品;二噁英(PCDD/Fs);毒性当量浓度;含量水平;分布特征

中图分类号: X703 文献标识码: A 文章编号: 0250-3301(2013)02-0642-05

## Concentrations and Distribution Characteristics of PCDD/Fs in Spent Etching Solution and Its Copper Salt Recycling Products

QING Xian<sup>1</sup>, HAN Jing-lei<sup>1</sup>, WEN Yan-shen<sup>2</sup>

(1. South China Institute of Environmental Sciences, Ministry of Environmental Protection, Guangzhou 510655, China; 2. Shenzhen Hazardous Waste Treatment Station Co., Ltd., Shenzhen 518000, China)

**Abstract**: Concentrations of 17 PCDD/Fs congeners in spent etching solution and its copper salt recycling products were determined by the high resolution gas chromatography-high resolution mass spectrometry (HRGC-HRMS). The PCDD/F concentrations and corresponding WHO-TEQ (toxic equivalent quantity) values were in the range of 0-3 460 pg·L<sup>-1</sup> (mean = 616 pg·L<sup>-1</sup>) and 0-246 pg·L<sup>-1</sup> (mean = 42.9 pg·L<sup>-1</sup>), respectively, in the spent etching solution, and 1.08-24.6 ng·kg<sup>-1</sup> (mean = 8.83 ng·kg<sup>-1</sup>) and 0.112-0.715 ng·kg<sup>-1</sup> (mean = 0.338 ng·kg<sup>-1</sup>), respectively, in the copper salt products. The established purification treatment technique could remove most of the PCDD/Fs in the etching solution. Of the copper products, higher PCDD/F concentrations were detected in industrial products than in feed grade and plating grade products. Similar distribution characteristics were found for PCDD/Fs in all copper salt products as the followings: ① PCDFs were more abundant than PCDDs, ② high chlorinated congeners were more abundant than low chlorinated congeners, except for 2,3,7,8-TCDF in the copper sulfate products.

**Key words:** spent etching solution; copper salt products; polychlorinated dibenzo-p-dioxins and dibenzofurans (PCDD/Fs); toxic equivalent quantity (TEQ); concentration; characteristics

蚀刻废液主要产生于印制电路板(printed circuit boards, PCB)行业,是一种金属含量较高的工业废水,有酸性蚀刻废液与碱性蚀刻废液两种,均属于危险废物<sup>[1~3]</sup>.由于其中蕴含大量的金属资源,蚀刻废液的回收利用方面的研究获得了广泛的关注<sup>[4~7]</sup>,其中利用蚀刻废液生产硫酸铜等铜盐类产品的生产工艺应用得比较广泛<sup>[8~11]</sup>.

然而,研究表明,当以盐酸和氧化剂氯酸盐为主要成分的酸性蚀刻液与线路板上的基材、油墨等有机物接触时,极易产生一些严重损害环境和健康的有毒有害物质,包括重金属类污染物以及二噁英等持久性有机污染物[12].其中二噁英等持久性有机污染物由于其难以降解的理化特性将跟随工艺流程进

入蚀刻废液的回收利用产品中. 饲料级硫酸铜与碱式氯化铜作为主要回收产品将不可避免受到一定程度污染. 当这些产品作为饲料添加剂加入到动物饲料当中,则可能将有毒有害物质带入人类食物链,对相应人群造成健康风险. 已有研究表明动物饲料和饲料添加剂正是食物链中二噁英污染的主要来源[13-15]. 历史上已发生过多起由二噁英等持久性有机污染物所导致的污染事件,许多都是由于饲料被污染所导致的,造成了巨大的经济损失与社会影

收稿日期: 2012-05-10; 修订日期: 2012-08-08

作者简介: 青宪(1981~),男,硕士,工程师,主要研究方向为痕量持 久性有机物污染物在环境中的迁移与转化, E-mail: qingxian@ scies. org 响<sup>[16]</sup>. 许多发达国家,尤其是欧洲国家都颁布了严格的条例限制各类食物与饲料中 PCDD/Fs 的毒性当量浓度<sup>[17]</sup>.

目前,有不少关于蚀刻废液及饲料级硫酸铜等铜盐产品中重金属含量测定的报道<sup>[18,19]</sup>,而对二噁英等有机污染物的报道主要集中在受蚀刻废液污染的场地及周边地区的环境介质与生物体中<sup>[20-23]</sup>,对蚀刻废液本身及其回收工艺中各种中间产品的二噁英含量却鲜有报道.本研究通过高分辨气相色谱-高分辨磁质谱联用仪(HRGC-HRMS)测定了蚀刻废液及其回收利用后生产的不同级别铜盐产品中17种2,3,7,8位取代PCDD/Fs的浓度及毒性当量水平,并初步探讨了蚀刻废液与铜盐产品中PCDD/Fs的单体分布特征.

### 1 材料与方法

#### 1.1 材料试剂

实验中用到的材料有:二氯甲烷、正己烷、甲苯、甲醇、丙酮和正十四烷(农残级,J.T. Baker,美国); 硅胶(70~230 目, Merck, 德国); 弗罗里硅酸镁(Fluka, 美国); 碱性氧化铝(Fluka, 美国).

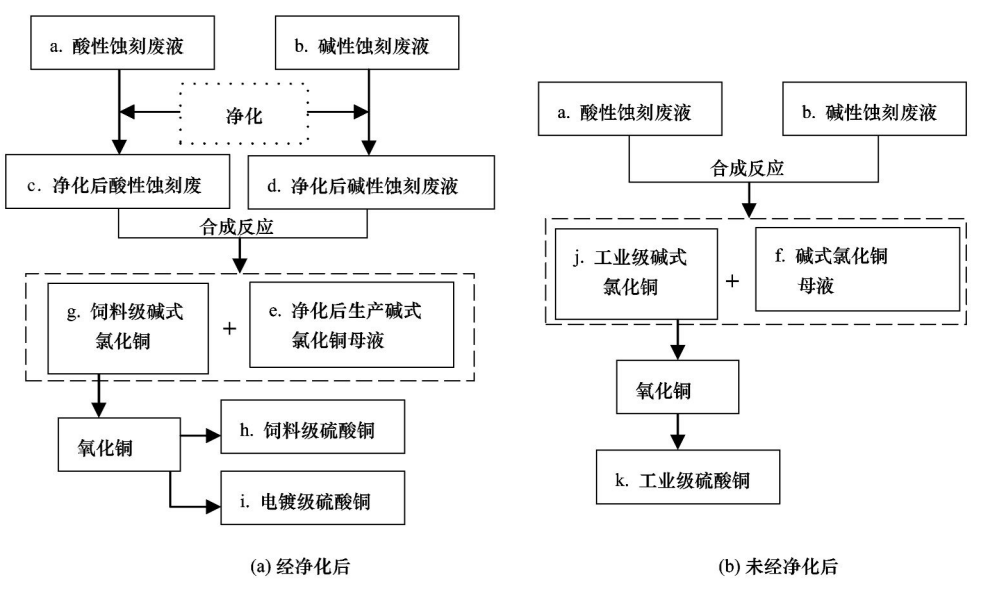


图 1 蚀刻废液回收利用生产工艺路线示意

Fig. 1 Flow chart of recycling techniques for the spent etching solution

#### 1.3 样品前处理

液体样品与固体样品中 PCDD/Fs 分别采用液—液萃取与索氏抽提的方法提取. 提取前每个样品添加—定量<sup>13</sup>C 标记的 2,3,7,8-氯取代 PCDD/Fs 的混合标准溶液. 经旋转蒸发浓缩后依次通过酸/碱性混合硅胶柱(40 g 40% 硫酸硅胶,3 g 中性硅胶,4

g 1.2% 氢氧化钠硅胶,3 g 中性硅胶)与氧化铝-弗罗里硅酸镁柱(1 g 碱性氧化铝,1 g 弗罗里硅酸镁)进行净化<sup>[24]</sup>.将洗脱液浓缩并转移至进样品,-20℃保存.仪器分析前添加定量的进样内标.

### 1.4 仪器分析

分析仪器为高分辨气相色谱-高分辨双聚焦磁

含 15 个<sup>13</sup>C 标记的 2,3,7,8-氯取代 PCDD/Fs 的混合标准溶液(即同位素稀释剂); 含<sup>13</sup>C-1,2,3,4-TCDD 和<sup>13</sup>C-1,2,3,7,8,9-HxCDD 的进样内标; CS1~CS5 校正标准溶液; 仪器参考标样全氟煤油 (PFK); GC 保留时间窗口定义标准溶液; PCDD/Fs 标准溶液; 以上试剂均购自 CIL,美国.

### 1.2 生产工艺简介与样品采集

生产工艺路线与样品均由深圳市危险废物有限公司提供.根据酸、碱蚀刻废液合成产品前是否经过净化工艺,分为两条生产线,如图1所示.图1(a)为包含净化工艺的生产线,即酸、碱蚀刻废液在混合发生合成反应前,先通过净化工艺,除去其中的杂质.所生产铜盐产品为高纯度的饲料级与电镀级.图1(b)中的生产路线中不包含净化工艺,所以其产品纯度低,为工业级.本研究中采集的样品包括:a.酸性蚀刻废液、b.碱性蚀刻废液、c.净化后酸性蚀刻废液、d.净化后碱性蚀刻废液、e.碱式氯化铜母液、f.净化后蚀刻废液生产碱式氯化铜母液、g.饲料级碱式氯化铜、h.饲料级硫酸铜、i.电镀级硫酸铜、j.工业级碱式氯化铜、k.工业级硫酸铜,合计11个样品.

质谱联用仪(HP6890GC/AutoSpec Premier, HRMS, Waters).

仪器条件: 载气流速为 1.0 mL·min<sup>-1</sup>, 色谱柱为 DB-5 (60 m×0.25 mm×0.25 μm), 进样量为 1 μL, 不分流进样. 色谱柱升温程序: 初始温度为  $140^{\circ}$ C, 保持 2 min, 然后以  $8^{\circ}$ C·min<sup>-1</sup>的速率升至  $220^{\circ}$ C,  $1.4^{\circ}$ C·min<sup>-1</sup>升至  $260^{\circ}$ C, 最后  $4^{\circ}$ C·min<sup>-1</sup>升至  $310^{\circ}$ C, 保持 4 min. 进样口温度为  $280^{\circ}$ C. 质谱条件: 电离能: 35 eV; 离子化电流: 600 μA; EI 源温度:  $300^{\circ}$ C; 分辨率 > 10 000.

### 1.5 质量保证和质量控制(QA/QC)

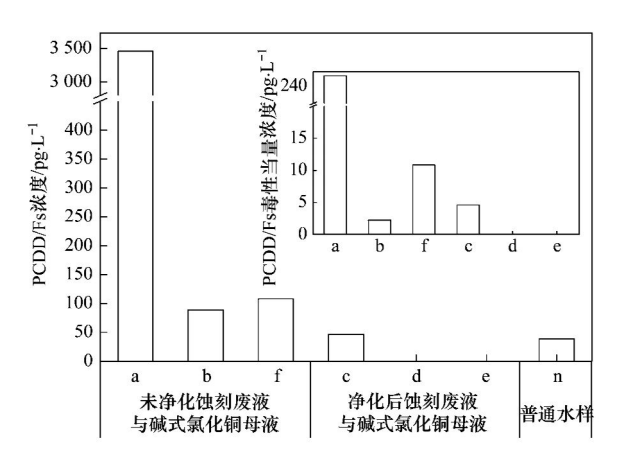
分析样品的同时,进行方法空白与空白加标实验,实际样品中 PCDD/Fs 的浓度已扣除空白. 样品检测限定义为 3 倍信噪比. 所有样品中<sup>13</sup>C 标记的2,3,7,8-氯取代 PCDD/Fs 的回收率为 45% ~ 105%.

### 2 结果与讨论

#### 2.1 PCDD/Fs 的浓度及生产工艺的影响

本研究采用世界卫生组织(World Health Organization, WHO)在2005年修订的毒性当量因子 (toxic equivalency factors, TEFs) 计算 PCDD/Fs 的 毒性当量浓度(toxic equivalent quantity, TEQ)<sup>[25]</sup>. 如图 2 所示,酸性蚀刻废液(a)中 PCDD/Fs 浓度为 3 460 pg·L<sup>-1</sup>, 毒性当量浓度 WHO-TEQ 为 246 pg·L<sup>-1</sup>,净化后其浓度降至 46.2 pg·L<sup>-1</sup>,毒性当量 浓度 WHO-TEQ 降为 4.62 pg·L<sup>-1</sup>; 碱性蚀刻废液 (b)的浓度为88.7 pg·L<sup>-1</sup>,毒性当量浓度WHO-TEO 为 2. 24 pg·L<sup>-1</sup>, 远低于酸性蚀刻废液, 其净化 处理后的溶液中未检出PCDD/Fs. 由此可见,净化处 理工艺可以去除蚀刻废液中绝大部分的 PCDD/Fs, 对酸性和碱性蚀刻废液中的 PCDD/Fs 去除率分别 达到98.7%和100%.从图2中可看出,未经净化的 酸性蚀刻废液中 PCDD/Fs 浓度是普通江水的 40 倍 左右,而净化处理后的浓度可降低至与普通水样相 当[26]. 造成这种结果的原因可能有两个:一是净化 工艺对去除 PCDD/Fs 有非常明显的效果; 二是酸 性蚀刻废液基质比碱性蚀刻废液复杂,而且其中 PCDD/Fs 浓度过高,超过工艺的最大净化能力.

碱式氯化铜母液是生产碱式氯化铜产品时,结晶过程中分离出的残余饱和溶液. 如图 2 所示,未经处理的蚀刻废液生产碱式氯化铜母液(e)中PCDD/Fs浓度为 108  $pg\cdot L^{-1}$ ,毒性当量浓度 WHO-TEQ 为 10.8  $pg\cdot L^{-1}$ . 说明蚀刻废液中的 PCDD/Fs



a. 酸性蚀刻废液; b. 碱性蚀刻废液; c. 净化处理后酸性蚀刻废液; d. 净化处理后减性蚀刻废液; e. 碱式氯化铜母液;

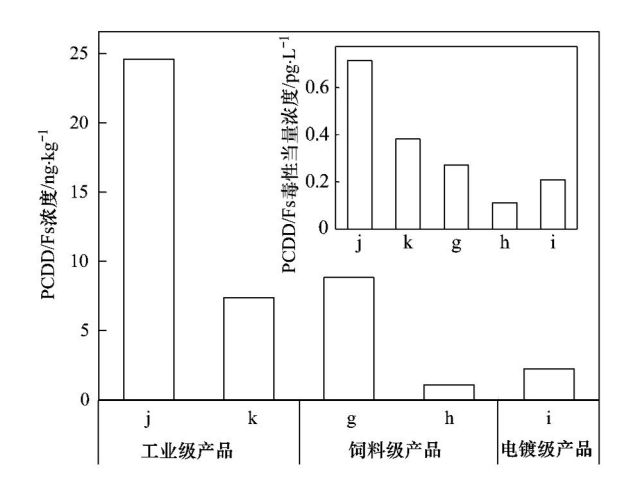
f. 净化后生产的碱式氯化铜母液; n. 普通水样[26]

### 图 2 蚀刻废液与碱式氯化铜母液中 PCDD/Fs 浓度与毒性当量浓度示意

Fig. 2 Concentrations and WHO-TEQ values of PCDD/Fs in spent etching solutions and mother solution of tribasic copper chloride

在沿着生产工艺路线传递过程中,有一部分残留在母液当中,另一部分则在结晶时转移入产品中.而净化后蚀刻废液生产碱式氯化铜母液(f)中未检出PCDD/Fs,则可能是经过净化后,蚀刻废液原料中PCDD/Fs浓度已降到非常低的缘故.

图 3 比较了各铜盐产品中 PCDD/Fs 的浓度水平. 其中,工业级碱式氯化铜(24.6  $\text{ng·kg}^{-1}$ ) > 饲料级碱式氯化铜(8.82  $\text{ng·kg}^{-1}$ ) > 工业级硫酸铜(7.40  $\text{ng·kg}^{-1}$ ) > 电镀级硫酸铜(2.24  $\text{ng·kg}^{-1}$ ) > 饲料级硫酸铜(1.08  $\text{ng·kg}^{-1}$ ). 由此可知,工业级产品中 PCDD/Fs 的浓度水平高于饲料级与电镀级产



j. 工业级碱式氯化铜; k. 工业级硫酸铜; g. 饲料级碱式 氯化铜; h. 饲料级硫酸铜; i. 电镀级硫酸铜

#### 图 3 铜盐产品中 PCDD/Fs 的浓度与毒性当量浓度示意

Fig. 3 Concentrations and WHO-TEQ values of PCDD/Fs in copper salt products

品;而在同一生产工艺路线中上游产品(碱式氯化铜)中PCDD/Fs的浓度高于下游产品(硫酸铜).因此,产品中PCDD/Fs浓度与生产工艺密切相关.

饲料级碱式氯化铜与硫酸铜可用作矿物源性饲料添加剂,如果其中 PCDD/Fs 毒性当量浓度过高,将通过食物链对人群健康造成危害. 目前欧盟对该类矿物源性饲料原料设定的二噁英毒性当量浓度WHO-TEQ 的限量标准为 1.0 ng·kg<sup>-1[27]</sup>. 本研究中测得的饲料级碱式氯化铜与硫酸铜的毒性当量浓度WHO-TEQ 为 0. 272 ng·kg<sup>-1</sup>与 0. 112 ng·kg<sup>-1</sup>,均低于欧盟限量标准.

### **2.2** PCDD/Fs 单体分布特征

对蚀刻废液、净化后酸性蚀刻废液和碱式氯化铜母液中17种2,3,7,8-PCDD/Fs单体百分比含量进行了分析,如图4所示.净化后酸性蚀刻废液中和碱式氯化铜母液中单体2,3,7,8-TCDF的百分含量为100%,其余单体均未检出.酸性蚀刻废液与碱性蚀刻废液中PCDFs的百分比含量明显高于PCDDs.这两种蚀刻废液中单体百分含量随氯取代数的增多而提高,其中,氯取代数最高的OCDF,也是百分含量最高的单体,分别占31.6%和33.2%.2,3,7,8-TCDD、1,2,3,4,7,8-HxCDD、1,2,3,6,7,8-HxCDD和1,2,3,7,8-PeCDD在两种废液中都未检出.

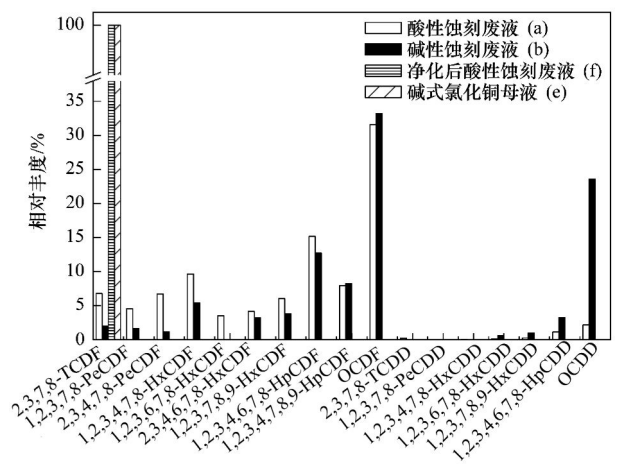


图 4 蚀刻废液与碱式氯化铜母液中 PCDD/Fs 单体分布特征

Fig. 4 Abundance of PCDD/F congeners in spent etching solutions and mother solution of tribasic copper chloride

由于生产中的 PCDD/Fs 均来自于蚀刻废液,并通过生产工艺路线逐级传递下来,所以蚀刻废液原料与铜盐产品中的单体分布特征具有一定的相关性,同时也具有自己的特征.图 5 列出了 5 种铜盐产品中 17 种 2,3,7,8-PCDD/Fs 单体百分比含量.与蚀刻废液单体分布特征相似的是,OCDF 同样也是

工业级碱式氯化铜与饲料级碱式氯化铜中百分比含量最高的单体,百分含量分别为 47.0% 和 40.9%; 而硫酸铜产品中百分比含量最高的单体却是OCDD,其在工业级、饲料级和电镀级硫酸铜中的百分比含量分别是 26.5%、28.2% 和 30.9%.2378-TCDF 在饲料级硫酸铜与电镀级硫酸铜中的含量仅次于OCDD,分别为 24.6% 和 16.4%.

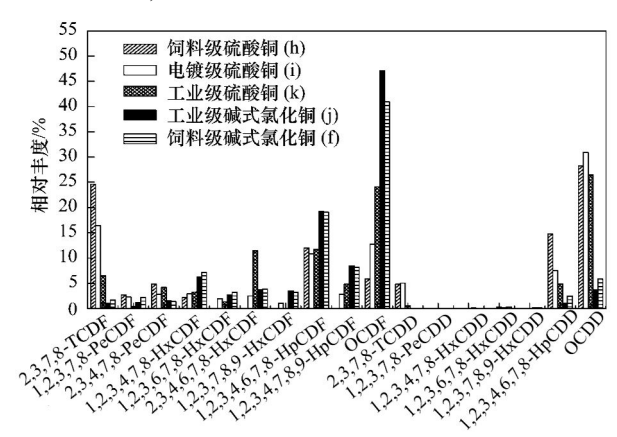


图 5 铜盐产品中 PCDD/Fs 单体分布特征

Fig. 5 Abundance of PCDD/F congeners in copper salt products

#### 3 结论

- (1) 蚀刻废液(包括净化后蚀刻废液)中PCDD/Fs浓度范围为0~3460 pg·L<sup>-1</sup>,以酸性蚀刻废液的浓度最高. 经过净化工艺处理可以大幅降低废液中PCDD/Fs的浓度,碱式氯化铜母液和净化后酸性蚀刻废液中仅检测出单体2,3,7,8-TCDF;铜盐产品中PCDD/Fs的浓度范围为1.08~24.6 ng·kg<sup>-1</sup>,其中工业级产品中的浓度高于饲料级与电镀级产品;生产工艺上游碱式氯化铜产品的浓度高于下游的硫酸铜产品.
- (2) 所有样品中 PCDFs 单体百分含量均明显高于 PCDDs. 除硫酸铜类产品中的 2,3,7,8-TCDF 单体外,大部分样品中单体的氯含量越高,百分含量越高.
- (3)目前,回收蚀刻废液生产饲料级硫酸铜的工艺应用较普遍,为了避免其通过食物链对人体健康造成危害,应加强对其中二噁英等有毒有害物质的监管.

### 参考文献:

- Lam C W, Lim S R, Schoenung J M. Environmental and risk screening for prioritizing pollution prevention opportunities in the U. S. printed wiring board manufacturing industry[J]. Journal of Hazardous Materials, 2011, 189(1-2): 315-322.
- [2] Huang K, Guo J, Xu Z M. Recycling of waste printed circuit boards: a review of current technologies and treatment status in

- China[J]. Journal of Hazardous Materials, 2009, 164(2-3): 399-408.
- [3] 黄文平. 印制电路板蚀刻废液利用企业环保准人条件研究 [J]. 环境科学与管理, 2011, **36**(5): 5-8.
- [4] Lee MS, Ahn JG, Ahn JW. Recovery of copper, tin and lead from the spent nitric etching solutions of printed circuit board and regeneration of the etching solution[J]. Hydrometallurgy, 2003, 70(1-3): 23-29.
- [5] 王红燕,崔兆杰,姚雅伟. 用盐酸/正丁胺/硫酸铜法浸出废 线路板中的铜[J]. 环境科学, 2010, **31**(12): 3099-3103.
- [6] Kang H N, Lee J Y, Kim J Y. Recovery of indium from etching waste by solvent extraction and electrolytic refining [J]. Hydrometallurgy, 2011, 110(1-4): 120-127.
- [7] Liu H M, Wu C C, Lin Y H, et al. Recovery of indium from etching wastewater using supercritical carbon dioxide extraction [J]. Journal of Hazardous Materials, 2009, 172(2-3): 744-748.
- [8] Huang Z Y, Xie F C, Ma Y. Ultrasonic recovery of copper and iron through the simultaneous utilization of printed circuit boards (PCB) spent acid etching solution and PCB waste sludge[J]. Journal of Hazardous Materials, 2011, 185(1): 155-161.
- [9] 杨葵华, 杜利成. 从刻蚀电路板废液中制取硫酸铜的工艺研究[J]. 绵阳师范学院学报, 2007, **26**(5): 43-46.
- [10] 巨佳, 王吉坤. 废蚀刻液研究现状与展望[J]. 云南化工, 2009, **36**(6): 40-42.
- [11] 温炎桑, 陈昌铭, 陈志传. 利用含铜蚀刻废液生产碱式碳酸铜[J]. 化工环保, 2004, **24**(2): 131-134.
- [12] 陈昌铭,李丹阳,温炎桑,等. 从印制线路板蚀刻废液中去除二噁英的方法及用途[P]. 中国专利: CN 201010567599, 2011-06-01.
- [13] Kim M, Kim S, Yun S J, et al. Evaluation of PCDD/Fs characterization in animal feed and feed additives [ J ]. Chemosphere, 2007, 69(3): 381-386.
- [14] Kim M, Kim D G, Choi S W, et al. Formation of polychlorinated dibenzo-p-dioxins/dibenzofurans (PCDD/Fs) from a refinery process for zinc oxide used in feed additives: a source of dioxin contamination in Chilean pork [J]. Chemosphere, 2011, 82 (9): 1225-1229.
- [15] Parera J, Abalos M, Pérez-Vendrell A M, et al. Occurrence and bioaccumulation study of PCDD and PCDF from mineral feed additives [J]. Chemosphere, 2008, 73(1); S252-S260.
- [16] 李莎莎,李翠枝. 二噁英污染事件初步文献调查[J]. 畜牧与

- 饲料科学, 2011, 32(4): 23-28.
- [17] Van Overmeire I, Clark G C, Brown D J, et al. Trace contamination with dioxin-like chemicals: evaluation of bioassaybased TEQ determination for hazard assessment and regulatory responses [J]. Environmental Science & Policy, 2001, 4(6): 345-357
- [18] 丁教, 舒红英. 饲料级硫酸铜中重金属的测定[J]. 江西化工, 1999, (1): 24-25.
- [19] 贾涛. 原子荧光测定硫酸铜中砷含量的方法条件研究[J]. 饲料广角, 2011, (1): 41-42, 47.
- [20] Leung A O W, Luksemburg W J, Wong A S, et al. Spatial distribution of polybrominated diphenyl ethers and polychlorinated dibenzo-p-dioxins and dibenzofurans in soil and combusted residue at Guiyu, an electronic waste recycling site in southeast China [J]. Environmental Science and Technology, 2007, 41 (8): 2730-2737.
- [21] Wu K S, Xu X J, Liu J X, et al. Polybrominated diphenyl ethers in umbilical cord blood and relevant factors in neonates from Guiyu, China [J]. Environmental Science and Technology, 2010, 44(2): 813-819.
- [22] 王学彤,王飞,贾金盼,等. 电子废物拆解区河流沉积物中 多溴二苯醚的污染水平、分布及来源[J]. 环境科学,2011, **32**(4):1088-1093.
- [23] 王学彤,李元成,张媛,等. 电子废物拆解区农业土壤中多 氯联苯的污染特征[J]. 环境科学, 2012, **33**(2): 587-591.
- [24] 张漫雯, 张素坤, 李艳静, 等. 检测沉积物中多氯代二苯并对二噁英和多氯代二苯并呋喃(PCDD/Fs)的前处理方法优化[J]. 环境化学, 2011, **30**(3): 723-724.
- [25] Van den Berg M, Birnbaum L S, Denison M, et al. The 2005 world health organization reevaluation of human and mammalian toxic equivalency factors for dioxins and dioxin-like compounds [J]. Toxicological Sciences, 2006, 93(2); 223-241.
- [26] Liu Y L, Peng P A, Li X M, et al. Polychlorinated dibenzo-p-dioxins and dibenzofurans (PCDD/Fs) in water and suspended particulate matter from the Xijiang River, China[J]. Journal of Hazardous Materials, 2008, 152(1): 40-47.
- [27] The European Parliament and of the Council. COMMISSION REGULATION (EU) No 420/2011 of 29 April 2011 amending Regulation (EC) No 1881/2006 setting maximum levels for certain contaminants in foodstuffs [R]. Official Journal of the European Union, 2011, L111, 3-6.

### **HUANJING KEXUE**

Environmental Science (monthly)

Vol. 34 No. 2 Feb. 15, 2013

### **CONTENTS**

Characterization of Chemical Compositions in PM <sub>2.5</sub> and Its Impact on Hazy Weather During 16 <sup>th</sup> Asian Games in Guangzhou ···	TAO Jun, CHAI Fa-he, GAO Jian, et al.	. ( 409 )
PM <sub>2.5</sub> Pollution and Aerosol Optical Properties in Fog and Haze Days During Autumn and Winter in Beijing Area		
Forming Potential of Secondary Organic Aerosols and Sources Apportionment of VOCs in Autumn of Shanghai, China		
Study on Number Concentration Distribution of Atmospheric Ultrafine Particles in Hangzhou		
Pollution Characteristics and Source Identification of Atmospheric Particulate Matters n-Alkanes in Baoding City		
Study on Pollution Characteristics of Carbonaceous Aerosols in Xi'an City During the Spring Festival	······ ZHOU Bian-hong, ZHANG Cheng-zhong, WANG Ge-hui	i (448)
Characteristics of PM <sub>10</sub> and PM <sub>2.5</sub> Concentrations in Mountain Background Region of East China		
Assessment of TVOC and Odor in the Remediation Site of Contaminated Soil and Groundwater Using Electronic Nose		
Characteristics of Mercury Exchange Flux Between Soil and Atmosphere Under the Snow Retention and Snow Melting Control · · · ·		
Study on Heavy Metal Contaminations and the Sources of Pb Pollution in Jinghai Bay Using the Stable Isotope Technique		
Eco-environmental Evolution Inferred from $n$ -Alkanes and $\delta^{12}C$ Records in the Sediments of Shijiu Lake		
Distribution of PGEs Contents and Its Factors in Snowfall and Snow Cover over the Arid Region in Changji City	LIU Yu-yan, LIU Hao-feng, ZHANG Lan	(494)
Effect of Dust Deposition Collection Methods on Collection Efficiency	····· ZHANG Zheng-cai, DONG Zhi-bao	(499)
Regionalization of the Freshwater Eco-regions in the Haihe River Basin of China		. (509)
Characteristics of Diffuse Attenuation Coefficient of Underwater Irradiance in the Lakes in the Middle and Lower Reaches of Yang	gtze River	
Study on Influencing Factors and Universality of Chlorophyll-a Retrieval Model in Inland Water Body		. ( 525 )
Effect of Dissolved Oxygen on Diversity of Ammonia-Oxidizing Microorganisms in Enrichment Culture from Estuarine Wetland Sur	rface Sediments and Ammonia-oxidizing Rate	, ,
	······ QIU Zhao-zheng, LUO Zhuan-xi, ZHAO Yan-ling, et al.	. (532)
Spatial Variation of Soil Moisture/Salinity and the Relationship with Vegetation Under Natural Conditions in Yancheng Coastal W	etland	( 510 )
Spatial Heterogeneity and Classified Control of Agricultural Non-Point Source Pollution in Huaihe River Basin		
Phosphorus Output Characteristics Under Different Rainfall-Runoffs in Gaolan River	CUI Yu-jie, LIU De-tu, SONG Lin-xu, et al.	. ( 555 )
Monitoring and Analysis on Evolution Process of Rainfall Runoff Water Quality in Urban Area		
Characteristics and Contribution of the Strengthening Units of Composite Constructed Wetland for Treating Urban Sewage		
Inactivation of Mycobacteria mucogenicum in Drinking Water: Chlorine Resistance and Mechanism Analysis		
Partial Biological Characteristics and Algicidal Activity of an Algicidal Bacterium		
Effects of Macrophytes Pyrolysis Bio-oil on Skeletonema costatum Antioxidant Enzyme Activities		
Mechanism and Kinetics of Phenol Degradation by TiO <sub>2</sub> Photocatalytic Combined Technologies	ZHANG YI, HUANG Kuo-nan, WANG Xiao-min, et al.	. ( 396 )
Biodegradation Characteristics of Organic Pollutants Contained in Tannery Wastewater  Microbial Degradation Mechanism of Disperse Azo Dye Red 30 by Streptomyces sp. FX645		
Study on Preparation and Performance of a Biological Carrier with Tourmaline  Study on the Chlorella pyrenoidosa Cultivation Technology Based on the Excess Sludge Utilization		
Effects of Mild Thermal Pretreatment on Anaerobic Digestibility of Sludge with Low Organic Content		
Effect of Natural and Hydrothermal Synthetic Goethite on the Release of Methane in the Anaerobic Decomposition Process of Organic		. ( 029 )
Enect of Natural and Hydrothermal synthetic Goetime on the Release of Methane in the Anaeronic Decomposition Frocess of Organical Natural and Hydrothermal Synthetic Goetime on the Release of Methane in the Anaeronic Decomposition Frocess of Organical Natural and Hydrothermal Synthetic Goetime on the Release of Methane in the Anaeronic Decomposition Frocess of Organical Natural Natural and Hydrothermal Synthetic Goetime on the Release of Methane in the Anaeronic Decomposition Frocess of Organical Natural Natura Natura Natura Natura Natur	WANG line at al.	( 635 )
Concentrations and Distribution Characteristics of PCDD/Fs in Spent Etching Solution and Its Copper Salt Recycling Products		
Case Study on Health Risk Assessment Based on Site-Specific Conceptual Model		
Study on the Risk Assessment Method of Regional Groundwater Pollution	VANC Van VII Vun-iiang WANG Zong-ging et al.	(653)
Groundwater Organic Pollution Source Identification Technology System Research and Application	WANG Yiao-hong WEI Jia-hua CHENG Thi-neng et al.	( 662 )
Study on Soil Organic Carbon Pools and Turnover Characteristics Along an Elevation Gradient in Qilian Mountain		
Response of Black Soil Organic Carbon, Nitrogen and Its Availability to Long-term Fertilization	LIJO Kun HIJ Rong-gui ZHANG Wen-iu et al.	(676)
Phytoavailability and Chemical Speciation of Cadmium in Different Cd-Contaminated Soils with Crop Root Return		
Study on Mechanism of SOM Stabilization of Paddy Soils Under Long-term Fertilizations		
Aging Process of Cr( III ) in 22 Typical Soils of China and Influence Factors Analysis		
Residual Characteristics of HCHs in Soils of a Former Lindane Production Enterprise		
Evaluation and Source Analysis of the Mercury Pollution in Soils and Vegetables Around a Large-scale Zinc Smelting Plant		
Residue of Organic Fluorine Pollutants in Hair and Nails Collected from Tianjin		
Analysis of Estrogens, Nonylphenol, 4-tert-Octylphenol and Bisphenol A in the Sediments		
Investigation of As, Cu and Zn Species and Concentrations in Animal Feeds	····· YAO Li-xian, HUANG Lian-xi, JIANG Zong-vong, et al.	. (732)
Residue Dynamics of Flubendiamide in Paddy Field		
Isolation of Two Endophytic Phenanthrene-Degrading Strains and Their Degradation Capacity		
Biodegradation of Nitrobenzene by a Halophilic Myroides odoratimimus Strain Y6	LI Tian, OIAN Kun, XIAO Wei. et al.	. ( 753 )
Effect of Immobilization on Biosensor for Benzene Derivates Detection		
Investigation of Bacterial Diversity in the Biological Desulfurization Reactor for Treating High Salinity Wastewater by the 16S rDN	NA Cloning Method ·····	
8-8-9-9-9-9-9-9-9-9-9-9-9-9-9-9-9-9-9-9	LIU Wei-guo, LIANG Cun-zhen, YANG Jin-sheng. et al.	. ( 767 )
Assessment of the Effect of Influent NH <sub>4</sub> +N Concentration on the Abundance and Community Structure of Functional Bacteria in	CANON Process	
4	LIU Tao, LI Dong, ZENG Hui-ping, et al.	. ( 773 )
Biodegradation of Lignocellulose by Penicillium simplicissimum and Characters of Lignocellulolytic Enzymes		
Microbial Community Structure and Distribution Characteristics in Oil Contaminated Soil		
Degradation of Oxytetracycline in Chicken Feces Aerobic-Composting and Its Effects on Their Related Parameters	0.1 0.	
	with our zhen, Er zhao jan, zhitho cha qing, er ar.	
Research of Moisture Content Variation in MSW Landfill		

### 《环境科学》第6届编辑委员会

主 编: 欧阳自远

副主编:赵景柱 郝吉明 田 刚

编 委:(按姓氏笔画排序)

万国江 王华聪 王凯军 王绪绪 田 刚 田 静 史培军

朱永官 刘志培 汤鸿霄 陈吉宁 孟 伟 周宗灿 林金明

欧阳自远 赵景柱 姜 林 郝郑平 郝吉明 聂永丰 黄 霞

黄耀 鲍强潘纲潘涛魏复盛

### 环轮种草

### (HUANJING KEXUE)

(月刊 1976年8月创刊) 2013年2月15日 34卷 第2期

### ENVIRONMENTAL SCIENCE

(Monthly Started in 1976)

Vol. 34 No. 2 Feb. 15, 2013

主	管	中国科学院	Superintended	by	Chinese Academy of Sciences
主	办	中国科学院生态环境研究中心	Sponsored	by	Research Center for Eco-Environmental Sciences, Chinese
协	办	(以参加先后为序)			Academy of Sciences
		北京市环境保护科学研究院	Co-Sponsored	by	Beijing Municipal Research Institute of Environmental
		清华大学环境学院			Protection
主	编	欧阳自远			School of Environment, Tsinghua University
编	辑	《环境科学》编辑委员会	Editor-in -Chief		OUYANG Zi-yuan
2mj	14	北京市 2871 信箱(海淀区双清路	Edited	by	The Editorial Board of Environmental Science (HUANJING
		18 号,邮政编码:100085)			KEXUE)
		电话:010-62941102,010-62849343			P. O. Box 2871, Beijing 100085, China
		传真:010-62849343			Tel:010-62941102,010-62849343; Fax:010-62849343
		E-mail; hjkx@ rcees. ac. cn			E-mail; hjkx@ rcees. ac. cn
		http://www.hjkx.ac.cn			http://www.hjkx.ac.cn
出	版	<b>斜望出版社</b>	Published	by	Science Press
	144	北京东黄城根北街 16 号			16 Donghuangchenggen North Street,
		邮政编码:100717			Beijing 100717, China
印刷装	き订	北京北林印刷厂	Printed	by	Beijing Bei Lin Printing House
发	行	科学出版社	Distributed	by	Science Press
		电话:010-64017032			Tel:010-64017032
		E-mail:journal@mail.sciencep.com			E-mail: journal@ mail. sciencep. com
订 购	处	全国各地邮电局	Domestic		All Local Post Offices in China
国外总统	发行	中国国际图书贸易总公司	Foreign		China International Book Trading Corporation (Guoji
		(北京 399 信箱)			Shudian), P. O. Box 399, Beijing 100044, China

中国标准刊号: ISSN 0250-3301 CN 11-1895/X

国内邮发代号: 2-821

国内定价:90.00元

国外发行代号: M 205

国内外公开发行